# 間欠回転磁場下における(Y<sub>1-x</sub>Er<sub>x</sub>)Ba<sub>2</sub>Cu<sub>3</sub>O<sub>y</sub>粉末の 配向挙動に与える焼結温度の影響

Influence of sintering temperature on the degrees of orientation

in (Y<sub>1-x</sub>Er<sub>x</sub>)Ba<sub>2</sub>Cu<sub>3</sub>O<sub>y</sub> powders aligned under modulated rotating magnetic fields

京大院工ネ科: <sup>○</sup>藤岡祥太郎, 堀井滋, 西岡寛広, 土井俊哉

Grad. Schl. Energy Sci., Kyoto Univ.: °S. Fujioka, S. Horii, T. Nishioka, T. Doi E-mail: fujioka.shotaro.47m@st.kyoto-u.ac.jp

### 1. はじめに

REB $_2$ Cu $_3$ O $_y$  (RE123)は 90 K 級の臨界温度および 磁場下での優れた臨界電流特性を有する。しかし、粒間弱結合のため、RE123 の実用化には二(三)軸結晶配向制御が必要となる。

我々は物質の結晶磁気異方性を利用した間欠回転磁場(MRF)による三軸結晶配向法に着目している。三軸磁場配向は各配向軸間の磁化率(χ)の差(Δχ)が大きい程有利となる。しかし、RE123は(110)面を共有した双晶を有しているため、双晶の存在は RE123 粉末(結晶粒レベル)では、面内方向の磁気異方性の低下をもたらす。本研究では、焼結温度による粒成長の違いが間欠回転磁場下での RE123 粒子の配向度にどのような影響を与えるのかを明らかにした。

#### 2. 実験方法

 $(Y_{1-x}Er_x)Ba_2Cu_3O_y$  [(Y,Er)123, x=0~1]を大気中で合 成した。なお、本焼成の温度(T<sub>s</sub>)を900°C~980°C と変 化させた。本焼成後、酸素アニールした(Y,Er)123焼結 体を乳鉢で粉砕することで(Y,Er)123 粉末を得た。粉 末:エポキシ樹脂=1:10 の重量比で混合し、試料回 転方式の間欠回転磁場下で室温にて硬化させ、粉末 配向体を得た。Fig.1に間欠回転磁場(MRF)の発生方 法の概念図を示す。ここで、直方体試料の互いに直交 する各側面を $\alpha$ ,  $\beta$ ,  $\gamma$ 面とする。水平磁場( $\mu_0 H_a = 0.5$ ~ 10 T)のもと、回転速度 $\Omega$ =60 rpm での回転工程に、 $\alpha$ 面の垂直軸が水平磁場と平行となるとき 2 秒間停止さ せる工程を含めることで、間欠回転磁場を発生させる ことができる。得られた磁場配向体について、極点図 から配向状態を、 $\alpha$ ,  $\beta$ ,  $\gamma$ 各面の XRD パターンから磁化 軸(第一容易軸 Δ、第二容易軸 Δ、困難軸 Δ) を、 ロッキングカーブから配向度を決定した。

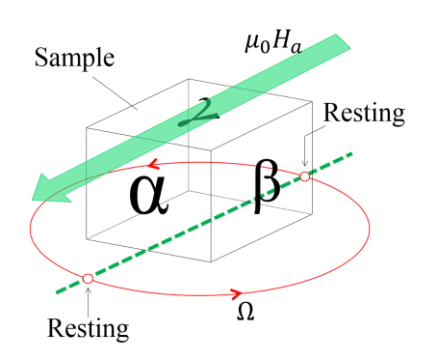


Fig. 1 Experimental configuration in a modulated rotating magnetic field (MRF).

### 3. 結果と考察

Y123 粉末配向体における各面の XRD パターンか ら、Y123 での磁化率の関係は $\chi_c > \chi_a > \chi_b$ である[1]。ここ で Fig. 2 に  $T_s$ =900°C, 940°C, 960°C とした Y123 粉 末配向体(MRF, 5T)のγ面における XRD パターンを示 す。 y面の XRD パターンには(h00)、(0k0)ピークが共 存していることから、γ面の垂直方向には b 軸だけでな く a 軸が向いている粒子も存在していることが分かる。 これは RE123 粒内に双晶が含まれることによる。これら のピークの出現はα,β間の XRD パターンと併せて、こ 軸配向 Y123 粉末の実現を意味する一方、双晶による 123 粉末の面内磁気異方性の低下を考慮する必要が あることも意味している。また、(110)ピークは面内方向 がランダム配向で c 軸配向のみが達成されている粒子 によるピークである。Fig. 2 より、 $T_s$  の上昇によって (110)ピークの相対強度は低下し、T<sub>s</sub> =900℃ の粉末よ りも T<sub>s</sub>=940°C,960°C の粉末の方がより多くの粒子 が三軸配向していることがわかる。

当日は(Y,Er)123 粒子の磁場配向挙動の変化についても報告する。

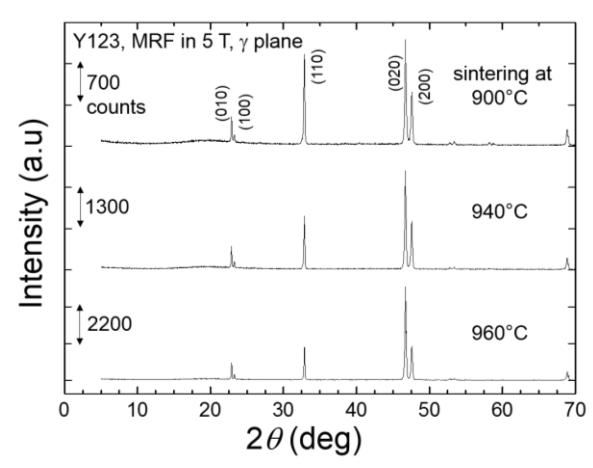


Fig. 2 XRD patterns at  $\gamma$  planes for magnetically aligned Y123 powder samples (MRF, 5T) with  $T_s$ =900, 940, and 960°C.

## 謝辞

本研究の一部は、科学研究費助成事業(24550236) および村田学術振興財団の助成によって行われたも のである。

## 参考文献

[1] 藤岡ら, H27 春応用物理学会 12p-A2-12